



Investigating the effect of infill walls on the behavior of building with eccentrically braced frame in the Sarpol-e Zahab earthquake through nonlinear analysis

M. R. Tabeshpour^{1*}, A. Noorifard²

¹ Department of Mechanical Engineering, Sharif University of Technology, Tehran, Iran

² School of Architecture, College of Fine Arts, University of Tehran, Tehran, Iran

ABSTRACT: The most important goal in designing an eccentrically braced frame (EBF) is that only link beam yields during the earthquake and other structural members remain elastic. Field survey after the Sarpol-e Zahab earthquake shows that despite several defects in the structural design and construction of EBFs, due to the positive effects of infill walls, they have remained stable. In this study, one of the buildings damaged in the Sarpol-e Zahab earthquake as a three-story four-bay frame with and without infill walls, was analyzed. In the condition that infill walls are not connected to the structure, three cases including case one: design of braces and link beams according to the code, case two: only design of link beams according to the code, and case three: neither design of braces nor design of link beams according to the code were studied. In the condition that infill walls are connected to the structure, the existing structure, in which neither the braces nor the link beams are designed according to the code, was considered as case four. Based on the pushover diagram of all four cases, it can be concluded that connecting the infill walls to the structure causes an increase in stiffness, strength, and energy absorption and it almost compensates the weakness of link beams and braces. In this condition, if there were not infill walls, there would be a possibility of structural collapse.

Review History:

Received: Nov. 17, 2020

Revised: May, 14, 2021

Accepted: Jul. 05, 2021

Available Online: Jul. 08, 2021

Keywords:

Eccentrically braced frame

Infill wall

Sarpol-e-Zahab earthquake

Nonlinear analysis

Link beam

1- Introduction

The most important concept in designing eccentrically braced frame (EBF) against earthquake is that yielding is concentrated only at link segments and all other members of the frame remain essentially elastic [1, 2]. The proportion between stiffness and ductility has always been a major concern for engineers. Moment resisting frames have high ductility and low stiffness, while concentrically braced frames have high stiffness and low ductility. Eccentrically braced frames have the advantages of both moment-resisting frames and concentrically braced frames simultaneously [1-5].

Unlike the concentrically braced frame, the interaction of the eccentrically braced frame with the infill wall is very important because the equivalent strut of the infill wall causes the lateral force to be transmitted axially and the shear performance of the link beam to be reduced. In such a system, the wall must be completely separated from the frame [6]. Although many studies have been done on the concentrically braced frame with infill walls, there are a few studies about the eccentrically braced frame with infill walls. The purpose of this research is to study one of the damaged buildings with an eccentrically braced frame system in the Sarpol-e Zahab earthquake.

2- Models' specifications

The studied building is a three-story steel building with

an eccentrically braced frame system that was damaged in the Sarpol-e Zahab earthquake (Figure 1). The building has three four-bay frames perpendicular to the street that there are eccentric braces in the first and last bays.

In this building, although the length of the link beam is short, the stiffness is not sufficient due to construction defects. Figure 2 shows that the braces buckled under the seismic force and experienced a large out-of-plane deformation, also the link beams do not have stiffeners. In this building, the infill walls have made a significant contribution to the overall stability of the structure due to the formation of the equivalent diagonal struts under the lateral load (Figure 3).



Fig. 1. Damaged three-story building with EBF system in the Sarpol-e Zahab earthquake (Authors)

*Corresponding author's email:tabeshpour@sharif.edu



Copyrights for this article are retained by the author(s) with publishing rights granted to Amirkabir University Press. The content of this article is subject to the terms and conditions of the Creative Commons Attribution 4.0 International (CC-BY-NC 4.0) License. For more information, please visit <https://www.creativecommons.org/licenses/by-nc/4.0/legalcode>.

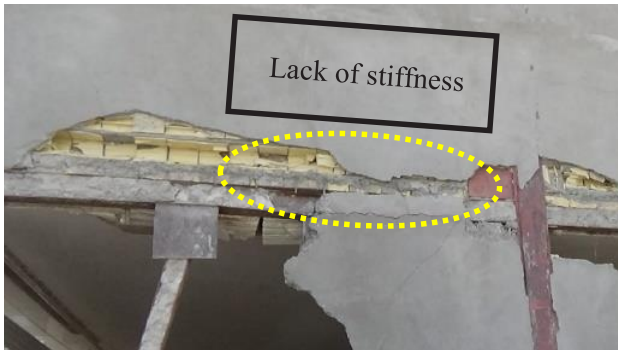


Fig. 2. (Top) buckling of brace in out-of-plane, (Bottom) lack of stiffness in link beam (Authors)

For numerical analysis of building behavior, a two-dimensional model in the form of a three-story four-bay frame was made in Etabs software, taking into account three-dimensional effects. The columns are made of 2IPE160 with a distance of 20 cm from the axis to the axis which are connected with PL200 × 10. The beams in braced bays are IPE 200 and in other bays are IPE 180 and the braces are IPE 140. Design forces were determined based on provisions of the Iranian national building code-part 6 [7] and seismic forces were calculated based on the 3th Edition of Iranian standard No. 2800 [8]. To model the infill walls, a compression diagonal strut with a width of 0.2 times of the diagonal length of the wall was considered that in braced bays, the width of the strut was reduced to 50% of this value [6]. As the walls have been constructed with the moderate strength hollow clay blocks, considering the effect of interior and exterior plaster, the equivalent modulus of elasticity was considered 3927 MPa and the equivalent thickness of walls, 16 cm [9].

In nonlinear models, the specifications of the plastic hinges for the compression strut of the infill wall, the braces as well as the two ends of the link beam were defined based on the instruction No. 360 [10]. Nonlinear models include the following four cases:

Case 1: Infill walls are not connected to the structure, braces and link beams are designed according to the code.

Case 2: Infill walls are not connected to the structure, only link beams are designed according to the code.

Case 3: Infill walls are not connected to the structure, neither braces nor link beams are designed according to the code.

Case 4: Infill walls are connected to the structure, neither



Fig. 3. Tolerate part of the lateral load by the formation of the compression diagonal struts of infill walls (Authors)

braces nor link beams are designed according to the code, the conditions of the existing structure.

3- Results and Discussion

Shear force diagrams of the eccentrically braced frame with and without infill walls under seismic force are presented in Figures 4 and 5. The fundamental period of the bare frame is 0.46 seconds and the fundamental period of the infilled frame is 0.17 seconds. In order to calculate the story stiffness, the method of triangular force distribution similar to the seismic force distribution and calculating the resulting displacement of each story was used [11], the results are presented in Table 1.

The results of the pushover analysis are demonstrated in Figure 6. As can be seen, connecting the infill walls to the structural system has led to a significant increase in the stiffness, strength, and energy absorption and it almost compensates for the weakness of link beams and braces. In case 3 that the infill walls are separated from the structure, the seismic behavior of the structure is much weaker than the existing structure and the amount of seismic energy absorption is less than one-third.

The analysis shows that the presence of the diagonal strut of the infill wall causes the shear force in the link beam to experience a reduction of 7 to 8.5 times. The infill wall also reduces the lateral displacement by 6.7 to 7.7 times, the lateral stiffness of the stories increases by 6.7 to 8.5 times, and thus the fundamental period decreases by 2.7 times. According to the pushover analysis, in cases one and two, the formation of plastic hinges began from the link beams of the second story and in the next steps, it was formed in the link beams of the first story. This is expected based on shear force diagram, so the results of the linear and nonlinear analysis are matched. In case four, first, the axial plastic hinges were formed in the infill walls of the first story, after removing the infill walls from the lateral resisting system, plastic hinges were formed in the braces of the first story and then by developing plastic hinges in the braces of the first story, this story became a mechanism. The axial and shear force diagrams in this case, before and after the brittle failure of infill walls show that most of the lateral force was tolerated by infill walls and after the brittle failure of infills

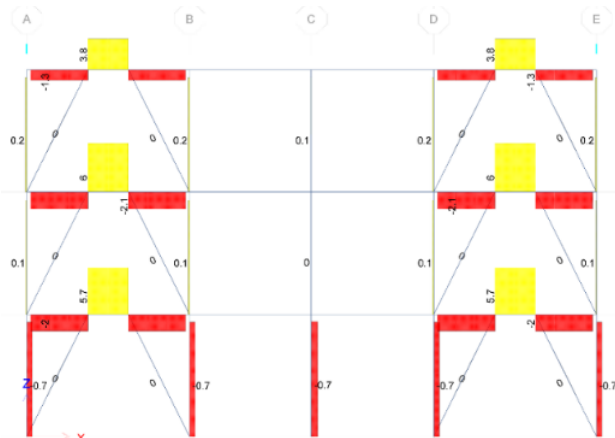


Fig. 4. Shear force diagram of EBF without infill walls (tonf)

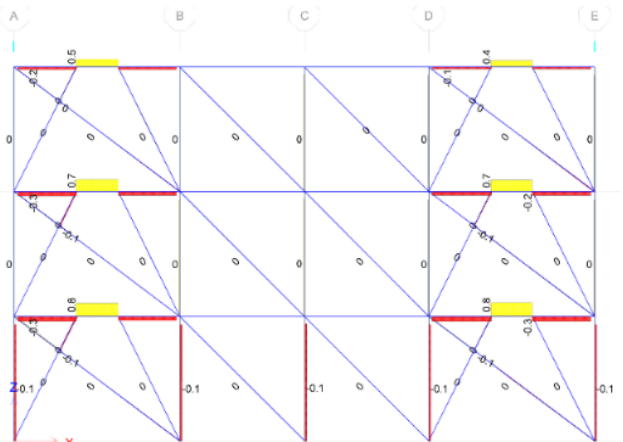


Fig. 5. Shear force diagram of EBF with infill walls (tonf)

Table 1. Story stiffness of EBF with and without infill walls

	First Story			Second Story			Third Story		
	Δ	F	K	Δ	F	K	Δ	F	K
	cm	tonf	tonf/cm	cm	tonf	tonf/cm	cm	tonf	tonf/cm
EBF	0.61	18.9	31	0.66	15.7	24	0.43	9.4	22
Infilled EBF	0.09	18.9	210	0.08	15.7	196	0.05	9.4	188

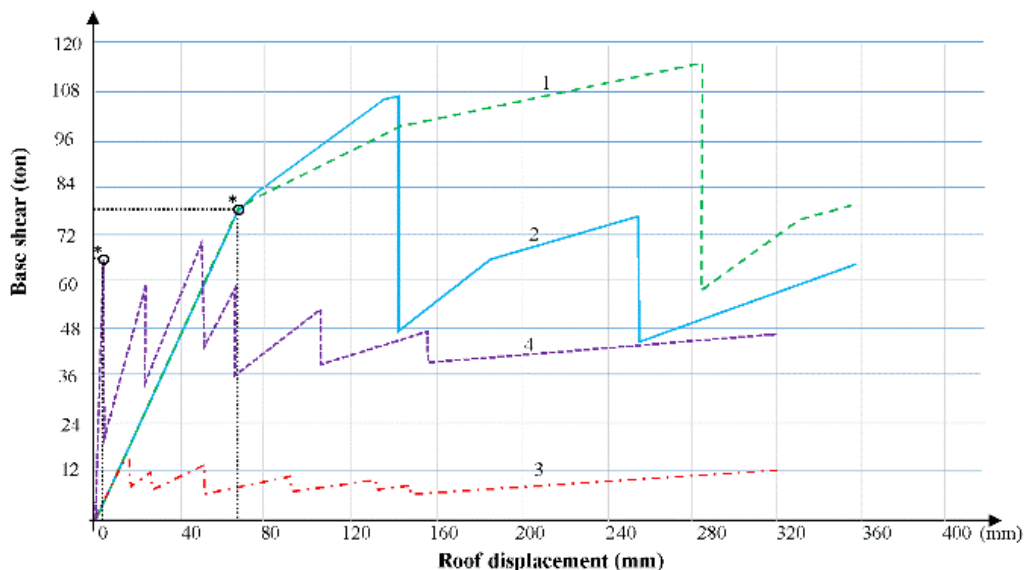


Fig. 6. Pushover diagram of EBF and infill wall for four cases

in the first story, this force was transmitted to the braces. Accordingly, in the initial earthquake cycles, defects of the braces are not a problem for the structure due to the participation of infill walls. The shear force diagram before failure of the infill

walls shows that shear force in link beams is low and this is contrary to the philosophy of the eccentrically braced frame design. By removing the infill walls, the shear force in link beams increases about three times.

4- Conclusion

- The results of linear and nonlinear analyses are in good agreement with the behavior of the damaged building in the Sarpol-e-Zahab earthquake.
- In addition to moment frames, the infill wall also has a significant effect on the seismic behavior of eccentrically braced frames.
- In the condition that there are several defects in the design and construction of the eccentrically braced frame, connecting the infill walls to the structure is desirable.
- For the eccentrically braced frame that is designed and constructed well, connecting the infill walls to the structure disrupts the desirable ductile behavior of the system.

References

- [1] S. K. Azad, C. Topkaya., A review of research on steel eccentrically braced frames, Journal of constructional steel research, 128 (2017) 53-73.
- [2] M. Adlparvar, Optimized analysis and design of the link beam with eccentrically braced frame, Journal of Modeling in Engineering, 22 (2010) 69-81 (In Persian).
- [3] K. D. Hjelmstad, E. P. Popov, Characteristics of eccentrically braced frames, Journal of Structural Engineering, 110(2) (1984) 340-353.
- [4] J. O. Malley, E. P. Popov, Shear links in eccentrically braced frames, Journal of Structural Engineering, 110(9) (1984) 2275-2295.
- [5] R. Montuori, E. Nastri, V. Piluso, Theory of Plastic Mechanism Control for MRF-EBF dual systems: Closed form solution, Engineering Structures, 118 (2016) 287-306.
- [6] M. R. Tabeshpour, Interpretation of Standard No 2800, 4th Edition, Volume II; Consideration of infill wall, Banae Danesh Press, Tehran, Iran, 2016 (In Persian).
- [7] Iranian national building code, part 6. Design loads for buildings, Ministry of roads and urban development , Islamic Republic of Iran, Tehran, Iran, 2013 (In Persian).
- [8] Standard No 2800. Iranian Code of Practice for Seismic Resistant Design of Buildings, 3th Edition, Building and Housing Research Center, Tehran, Iran, 2006 (In Persian).
- [9] A. Noorifard, M. R. Tabeshpour, Determining the modulus of elasticity of infill walls constructed by common materials in Iran for engineering applications, Research Bulletin of Seismology and Earthquake Engineering, 20(1) (2017) 25-35 (In Persian).
- [10] Instruction for seismic rehabilitation of existing buildings, No. 360, First revision, Office of deputy for strategic supervision, Department of technical affairs, Vice presidency for strategic planning and supervision, Tehran, Iran, 2014 (In Persian).
- [11] M. R. Tabeshpour, A. Noorifard, Comparing calculation methods of storey stiffness to control provision of soft storey in seismic codes, Earthquakes and Structures, 11(1) (2016) 1-23.

HOW TO CITE THIS ARTICLE

M. R. Tabeshpour, A. Noorifard, *Investigating the effect of infill walls on the behavior of building with eccentrically braced frame in the Sarpol-e Zahab earthquake through nonlinear analysis*, Amirkabir J. Civil Eng., 54(3) (2022) 227-230.

DOI: [10.22060/ceej.2021.19274.7121](https://doi.org/10.22060/ceej.2021.19274.7121)



بررسی اثر دیوار پرکننده بر رفتار ساختمان‌های با سیستم مهاربند برون محور در زلزله سرپل ذهاب با استفاده از تحلیل غیرخطی

محمد رضا تابش پور^{۱*}، آزاده نوری فرد^۲

۱-دانشکده مکانیک، دانشگاه صنعتی شریف، تهران، ایران

۲-دانشکده معماری، پردیس هنرهای زیبا، دانشگاه تهران، تهران، ایران

تاریخچه داوری:

دریافت: ۱۳۹۹/۰۸/۲۷

بازنگری: ۱۴۰۰/۰۲/۲۴

پذیرش: ۱۴۰۰/۰۴/۱۴

ارائه آنلاین: ۱۴۰۰/۰۴/۱۷

کلمات کلیدی:

مهاربند برون محور

دیوار پرکننده

زلزله سرپل ذهاب

تحلیل غیرخطی

تیر پیوند

خلاصه: مهم‌ترین هدف در طراحی سیستم مهاربند برون محور این است که در زمان زلزله، تنها تیر پیوند جاری شده و سایر اعضا در حالت الاستیک باقی بمانند. در زلزله سرپل ذهاب مشاهده گردید علی‌رغم اینکه قاب‌های دارای مهاربند برون محور طراحی نشده و اشکالات اجرایی زیادی دارند اما دلیل آثار مثبت دیوارهای پرکننده سازه پایداری خود را حفظ کرده است. در این پژوهش یکی از ساختمان‌های آسیب دیده در زلزله سرپل ذهاب به صورت یک قاب سه طبقه چهار دهانه، با و بدون دیوار پرکننده تحلیل شده است. در حالتی که دیوار پرکننده به سازه متصل نیست، سه حالت؛ طراحی مهاربند و تیر پیوند طبق آیین نامه، تنها طراحی تیر پیوند طبق آیین نامه و طراحی هیچ یک از مهاربند و تیر پیوند بر اساس آیین نامه مورد بررسی قرار گرفته است و در حالتی که دیوار پرکننده به سازه متصل است، وضعیت سازه موجود که در آن ضوابط آیین نامه در هیچ یک از اعضای مهاربند و تیر پیوند رعایت نگردیده است مورد بررسی قرار گرفته است. بر اساس نمودار پوش آور هر چهار حالت می‌توان نتیجه گرفت که اتصال دیوار به سازه باعث افزایش شدید سختی، مقاومت و جذب انرژی شده و تا حد زیادی اشکالات مربوط به ضعیف بودن تیر پیوند و مهاربند را جبران کرده است. در این شرایط اگر دیوار پرکننده وجود نمی‌داشت، رفتار لرزه‌ای سازه بحرانی تر می‌شد و حتی احتمال فروریزش سازه وجود می‌داشت.

۱- مقدمه

دستک معادل دیوار، توزیع و انتقال نیروی جانبی به صورت محوری، عملکرد برشی تیر رابط را کمنگ می‌کند. در چنین سیستمی کلاً دیوار باید از قاب جدا شود [۷]. اگر چه مطالعات گسترده‌ای در خصوص مهاربند برون محور و دیوار پرکننده انجام شده است ولی مطالعه مهاربندی برون محور با دیوار پرکننده اندک است. Daryan و همکاران در سال ۲۰۰۹، اثر دیوار پرکننده بر روی رفتار قاب مهاربندی شده برون محور را با استفاده از روش المان محدود explicit مطالعه کردند. در این تحقیق به دلیل پیچیدگی مشخصات مکانیکی و هندسی دیوار آجری و اندرکنش بین دیوار و قاب فولادی، مدل‌های اولیه ساخته شد و مساله از طریق مقایسه با نتایج آزمایشگاهی حل شد. سه مدل اولیه شامل دیوار آجری بدون قاب با مهاربند برون محور، قاب با مهاربند برون محور بدون دیوار پرکننده و نهایتاً قاب پر شده با مهاربند برون محور بود. پس از تایید مدل المان محدود، اثر دیوار پرکننده روی مهاربند برون محور مطالعه شد. این بررسی نشان داد وجود دیوار پرکننده به صورت کلی، مقاومت تسلیم و محدوده الاستیک را در منحنی نیرو-جایه جایی افزایش می‌دهد ولی رفتار پلاستیک قاب به دلیل

Roeder و Popov در دانشگاه کالیفرنیا پیشنهاد گردیده است [۱]. اساسی‌ترین و مهم‌ترین مفهوم در طراحی این سیستم در مقابل زلزله این است که جاری شدن و خسارت سازه‌ای باید به طور کلی در تیر رابط محدود شود و سایر اعضا در محدوده الاستیک باقی بمانند [۳ و ۲]، همواره تناسب میان پارامترهای سختی و شکل‌پذیری، دغدغه اصلی مهندسین طراح بوده است. قاب‌های خمی، شکل‌پذیری زیاد و سختی کمی دارند در حالی که قاب‌های مهاربندی شده هم محور، سختی زیاد و شکل‌پذیری اندکی دارند. قاب‌های مهاربندی شده برون محور از لحاظ سختی و شکل‌پذیری در حالتی بینابینی قرار داشته، سختی آن‌ها از قاب خمی و شکل‌پذیری شان از سیستم مهاربند هم محور بیشتر است [۲-۶].

برخلاف سیستم دارای مهاربند هم محور، بر هم کنش سیستم دارای مهاربند برون محور با دیوار پرکننده بسیار مهم است. زیرا در صورت وجود

* نویسنده عهدهدار مکاتبات: tabeshpour@sharif.edu

حقوق مؤلفین به نویسنده‌گان و حقوق ناشر به انتشارات دانشگاه امیرکبیر داده شده است. این مقاله تحت لیسانس آفرینشگاری مردمی (Creative Commons License) در دسترس شما قرار گرفته است. برای جزئیات این لیسانس، از آدرس <https://www.creativecommons.org/licenses/by-nc/4.0/legalcode> دیدن فرمائید.



شده انجام شده است، تحقیقات مرتبط با مطالعه حاضر در دو بخش مهاربند برون محور و تحلیل غیرخطی دیوار پرکننده مرور شده است. Ghobarah و Ramadan در پژوهشی در سال ۱۹۹۰، اثر نیروی محوری در عملکرد تیر پیوند در مهاربند برون محور را مطالعه کردند. در این مطالعه رفتار تیر پیوند پس از مرحله الاستیک و عملکرد آن تا شکست با استفاده از مدل المان محدود تحت بار چرخه‌ای بررسی شده و با نتایج آزمایشگاهی صحت سنجی گردیده است. نتایج مطالعات نشان می‌دهد زمانی که تیر پیوند تحت نیروی محوری قرار می‌گیرد، ظرفیت باربری و شکل پذیری آن بدتر می‌شود. این اثر منفی نیروی محوری برای تیر پیوندی که طول آن نزدیک به طول تیر برشی بحرانی است، بیشتر است [۱۲]. در سال ۲۰۱۲، Clifton و همکاران خلاصه‌ای از عملکرد ساختمان‌های دارای مهاربند برون محور در زلزله‌های کرایسچرچ سال‌های ۲۰۱۰ تا ۲۰۱۱ را بررسی کردند. این سری زلزله‌ها اولین حادثه در سطح جهان بود که مهاربندی‌های برون محور جدید را در محدوده غیرالاستیک قرار داده و ساختمان‌های مهاربند برون محور از ۳ تا ۲۲ طبقه را تحت تاثیر قرار داده است. پاسخ این ساختمان‌ها عموماً بهتر از حد انتظار بوده است [۱۳]. در سال ۲۰۱۲، Hash- Daneshmand و Azad مهندسی برای مطالعه عملکرد تیر پیوند با طول متوسط و بلند در مهاربند برون محور، ۶۸ تیر پیوند را با روش المان محدود مدل‌سازی کردند. در این تحقیق پیشنهاداتی برای طراحی این نوع تیر پیوند ارائه گردیده است. نتایج مطالعات نشان می‌دهد نسبت لاغری جان و مشخصات سخت کننده‌ها پارامترهای مهمی هستند که روی عملکرد تیر پیوند متوسط اثر دارند [۱۴]. Topkaya در یک مقاله مروری در سال ۲۰۱۷، تحقیقات مربوط به مهاربند برون محور فولادی را هم در سطح پاسخ اجزا و هم در سطح پاسخ سیستم بررسی کرده‌اند. در سطح پاسخ اجزا، تیر پیوند به عنوان منبع اولیه جذب انرژی در سیستم مهاربند برون محور، نتایج آزمایشگاهی و عددی روی مقاومت، ظرفیت دوران و فرآمقاآمت تیر پیوند و همچنین اثر نیروی محوری، وجود دال بتنی، جزیيات تیر پیوند و اثر مهاربند روی تیر پیوند ارائه گردیده است. در سطح پاسخ سیستم، ویژگی‌های سیستم مهاربند برون محور و مطالعات عددی روی عملکرد لرزه‌ای EBF بحث شده است [۲].

در ادامه مرور مختصه بر روی تحقیقاتی که بر روی رفتار غیرخطی دیوار پرکننده با مدل دستک معادل انجام شده، صورت گرفته است. در سال ۲۰۰۸ Rodrigues و همکاران در پژوهشی با استفاده از تحلیل غیرخطی از طریق مدل‌سازی ماکروی دیوار پرکننده رفتار کلی ساختمان‌های با سبک معماری مدرن لیسیون را تحت بار چرخه‌ای مورد مطالعه قرار دادند. در این

رفتار شکننده مصالح بنایی بدتر می‌شود و کل سیستم یک افت مقاومت قابل توجهی را بعد از محدوده خطی خواهد داشت [۸]. تابش‌پور و نوری فرد در پژوهشی در سال ۲۰۲۰، بر اساس بررسی‌های میدانی ساختمان‌های آسیب دیده در زلزله سرپل ذهاب مشاهده کردند علی رغم اینکه قاب‌های دارای مهاربند برون محور طراحی نشده و اشکالات اجرایی زیادی دارند، سازه‌ها پایداری خود را حفظ کرده است. در این پژوهش با استفاده از مدل‌سازی یکی از ساختمان‌های آسیب دیده در زلزله سرپل ذهاب، رفتار سازه در دو حالت با و بدون دیوار پرکننده مطالعه شده است. نتایج تحلیل‌ها نشان می‌دهد وجود دستک قطری دیوار پرکننده موجب کاهش نیروی محوری مهاربندها و کاهش نیروی برشی و لنگر خمی تیر پیوند می‌شود. دیوار پرکننده همچنین موجب کاهش تغییر مکان، افزایش سختی و کاهش پریود قاب با مهاربند برون محور می‌گردد. لذا در چنین شرایطی که اشکالات متعددی در طراحی و اجرای تیر پیوند و مهاربند وجود دارد، اتصال دیوار پرکننده به سازه در حفظ پایداری قاب با مهاربندی‌های برون محور در زلزله سرپل ذهاب نقش مهمی را ایفا کرده است [۹]. Khan و Rawat در سال ۲۰۱۶ تحقیقی از مهاربند برون محور برای کاهش اثر طبقه نرم در قاب بتنی دارای دیوار پرکننده استفاده کردند. در این تحقیق عملکرد لرزه‌ای مهاربند برون محور برای یک ساختمان هفت طبقه با استفاده از تحلیل پوش آور استاتیکی غیرخطی بررسی گردیده است. مطالعه پارامترها شامل شکل مهاربند برون محور، سطح مقطع، میزان خروج از مرکزیت جهت کاهش تقاضای تغییر مکان و احتمال شکست بوده است [۱۰].

در کنار پژوهش‌های اندکی که اثر دیوار پرکننده بر سیستم مهاربند برون محور را مطالعه کرده‌اند، برخی محققین به بررسی تاثیر دیوار پرکننده بر مهاربند هم محور پرداخته‌اند. Jazany و همکاران در سال ۲۰۱۳ با مطالعه آزمایشگاهی و تحلیلی، اثر دیوار پرکننده را بر رفتار لرزه‌ای قاب مهاربند هم محور ویژه مطالعه کردند. در این مطالعه سه نمونه شامل قاب دارای مهاربند برون محور با و بدون دیوار پرکننده و یک قاب خمی دارای دیوار پرکننده تحت نیروی چرخه‌ای آزمایش شدند و به صورت المان محدود تحلیل گردیدند. نتایج این تحقیق نشان داده است وجود دیوار پرکننده، سختی جانبی و ظرفیت برابری سیستم مهاربند هم محور ویژه را افزایش می‌دهد، هر چند بر هم کنش قاب و دیوار موجب افزایش کرنش نیاز و پتانسیل شکست اتصالات می‌شود. نتایج این تحقیق به خوبی با خسارات زلزله به قابل مقایسه است [۱۱].

در ادامه به دلیل تحقیقات اندکی که روی مهاربند برون محور با دیوار پر

مسلح تحلیل پوش آور شده که نشان می‌دهد دریفت غیر الاستیک ساختمان بهتر شده است [۱۹]. Martinelli و همکاران در سال ۲۰۱۵ یک روش ساده بر اساس تحلیل استاتیکی غیرخطی برای ارزیابی پاسخ لرزه‌ای قاب بتن مسلح پر شده با دیوار آجری پیشنهاد کردند. این روش بر اساس دو تحلیل پوش آور است که بر روی قاب خالی و قاب پر شده انجام می‌شود و یک پارامتر بدون بعد برای مشارکت واقعی دیوار پرکننده در پاسخ جانبی قاب بتن مسلح تعیین می‌شود. این پارامتر برای کاهش تقاضای جابه جایی تعیین شده روی قاب خالی به کار می‌رود و نقطه عملکرد را روی منحنی پوش آور قاب پر شده تعیین می‌کند. در این پژوهش برای مدل‌سازی پاسخ غیرخطی دیوار پرکننده از مدل دستک معادل استفاده شده است [۲۰].

بر اساس بازدیدهای میدانی صورت گرفته پس از زلزله سرپل ذهاب مشاهده شده است علی رغم نواقص متعدد در سازه‌های مهاربند بروون محور، پایداری سازه حفظ شده است. برخی از این اشکالات به شرح زیر می‌باشد [۲۱]:

- ۱-استفاده از تیر لانه زنبوری در دهانه مهاربند بروون محور
- ۲-عدم اجرای سخت کننده در تیر پیوند
- ۳-نداشتن مهار جانبی در بال فشاری تیر
- ۴-طول زیاد تیر پیوند
- ۵-کمانش جانبی مهاربند به دلیل عدم کفایت مقطع
- ۶-اتصال دیوار به سازه مهاربند بروون محور

متاسفانه هر چند در آموزش‌های مهندسی، تا حد ممکن ملاحظات و نکات مربوط به طراحی مهاربند بروون محور تدریس می‌شود ولی به دلیل عدم آگاهی کافی در جامعه مهندسان مشاور از رفتار دیوارهای پرکننده و لحاظ نکردن آن‌ها در طراحی و عدم توجه به نکات اجرایی، همواره در زلزله‌ها، مودهای شکستی دیده می‌شود که بدون مدل‌سازی هر چند بسیار ساده ساختمان در حیطه غیرخطی نمی‌توان بازخوانی و قرائت خوبی از رفتار لرزه‌ای سازه داشت. با وجود این که این موضوع، فراوان و پر تکرار است لکن مطالعات بسیار کمی در این خصوص در ادبیات مهندسی وجود دارد. نوآوری پژوهش حاضر، در ارائه هشدار و آموزش تحلیل ساده مسائل پر تکرار ساختمان است. بر این اساس هدف از این تحقیق، مطالعه عددی یک نمونه از ساختمان‌های دارای سیستم مهاربند بروون محور در زلزله سرپل ذهاب می‌باشد. به این منظور یک قاب سه طبقه چهار دهانه از ساختمان انتخاب شده در شرایط قاب خالی و قاب پر شده به صورت خطی و غیرخطی تحلیل گردیده است.

تحقیق رفتار خمشی غیرخطی اعضای باریک بتن مسلح و اثر دیوارهای پرکننده در پاسخ لرزه‌ای کلی ساختمان به صورت عددی مدل‌سازی شده است [۱۵]. ایشان در سال ۲۰۱۰، یک مدل عددی اصلاح شده برای مدل‌سازی رفتار دیوار پرکننده در برابر نیروی زلزله پیشنهاد کردند. این مدل ارتقا یافته به صورت دستک فشاری دو قطری معادل است که به صورت معمول برای رفتار غیرخطی دیوار در برابر نیروهای چرخه‌ای به کار می‌رود. نتایج اصلی با دو سری آزمایش؛ یک مورد قاب یک طبقه یک دهانه و یک مورد قاب چهار طبقه سه دهانه کالبیره گردیده است [۱۶]. در سال ۲۰۱۲ Tortisi و همکاران یک مدل خلاقانه برای تحلیل غیرخطی سازه بنایی کلافدار و قاب پر شده بتن مسلح پیشنهاد دادند. در این مدل دیوار بنایی با استفاده از شش دستک قطری مدل‌سازی شده و مقاومت محوری دستک‌ها بر اساس یک تئوری شکست عمومی با لحاظ کردن شکست لغزشی-برشی، شکست قطری کششی و شکست فشاری تعیین گردیده است. مزیت اصلی این مدل نه تنها پیش‌بینی سختی و مقاومت سازه است بلکه تاثیر دیوار بنایی بر قاب پیرامونی را نیز نشان می‌دهد. همچنین این مدل در تحلیل سازه‌های بزرگ نیز به دلیل سادگی می‌تواند به کار رود [۱۷]. در سال ۲۰۱۲ و Uvra همکاران در تحقیقی تحت عنوان نقش مدل‌های دستک معادل در ارزیابی لرزه‌ای ساختمان‌های بتن مسلح پر شده، یک ساختمان بتن مسلح موجود که اطلاعات زیادی در مورد آن از جمله داده‌های آزمایشگاهی موجود است را جهت مطالعه موردی انتخاب و یک قاب آن با هدف بررسی برخی جواب مهم در خصوص مدل‌سازی دیوار پرکننده در پاسخ سازه‌ای مورد تحلیل‌های استاتیکی غیرخطی قرار دادند. در این مطالعه، پارامترهای خاصی از جمله؛ عرض دستک، قانون نیرو-جابه جایی دیوار و تعداد دستک‌ها که در تعریف مدل دستک معادل به کار می‌رود، تحلیل حساسیت گردیده است [۱۸]. Sengupta و Adukadukam در سال ۲۰۱۳ در تحقیقی با عنوان روش دستک معادل برای مدل‌سازی دیوار پرکننده در تحلیل غیرخطی ساختمان‌ها، مشخصات یک مفصل محوری غیرخطی را با سطوح عملکرد مناسب پیشنهاد کرده‌اند. در این تحقیق ابتدا مناسب بودن دو روش موجود در ادبیات مورد بررسی قرار گرفته و سپس رابطه نیروی محوری غیرخطی در برابر تغییر شکل با استفاده از داده‌های آزمایشگاهی موجود در ادبیات استخراج و منحنی سهموی به صورت سه خطی برای مشخصات مفصل محوری به نحوی که قابل استفاده در نرم‌افزارهای تجاری مهندسی باشد، تبدیل گردیده است. نهایتاً با استفاده از آن دو ساختمان با سیستم قاب بتن



شکل ۱. ساختمان سه طبقه آسیب دیده در زلزله سرپل ذهاب با سیستم مهاربند بروون محور (نگارندگان)

1. Damaged three-story building with EBF system in the Sarpole Zahab earthquake (Authors)

ساخته شده است. ابعاد سازه و پروفیل‌ها بر اساس بازدید میدانی می‌باشد، هر چند این ابعاد تقریبی است ولی دقیق خوبی دارد. ستون‌ها از 2IPE160 به فاصله محور تا محور $20 \times 20 \text{ cm}$ است که با ورق $PL200 \times 10$ به یکدیگر متصل شده‌اند. تیرهای دهانه‌های فاقد مهاربند از IPE180، دهانه‌های دارای مهاربند از IPE200 و مهاربندها از IPE140 می‌باشد.

بارهای وارد به سازه بر اساس مبحث ۶ مقررات ملی ساختمان در نظر گرفته شده است [۲۲]. سقف طبقات از تیرچه بلوك به ارتفاع ۲۵ سانتی‌متر می‌باشد، با احتساب بارهای ناشی از جزئیات معماری، بار مرده سقف طبقات ۵۰۰ کیلوگرم بر متر مربع و بام ۶۲۰ کیلوگرم بر متر مربع محاسبه گردیده است. بار معادل تیغه‌های داخلی ۱۰۰ کیلوگرم بر متر مربع فرض شده، دیوارهای خارجی از سفال به ضخامت ۱۵ سانتی‌متر بوده که با احتساب اندازه داخل و خارج، بار آن ۲۴۰ کیلوگرم بر متر مربع محاسبه گردیده است. ضریب زلزله ساختمان بر اساس ویرایش سوم استاندارد ۲۸۰۰ به صورت زیر محاسبه شده است [۲۳].

$$\text{محل پروژه سرپل ذهاب: } A = 0.3$$

$$\text{کاربری مسکونی: } I = 1$$

$$\text{زمین نوع دو: } T_0 = 0.1, \quad T_s = 0.5, \quad S = 1.5$$

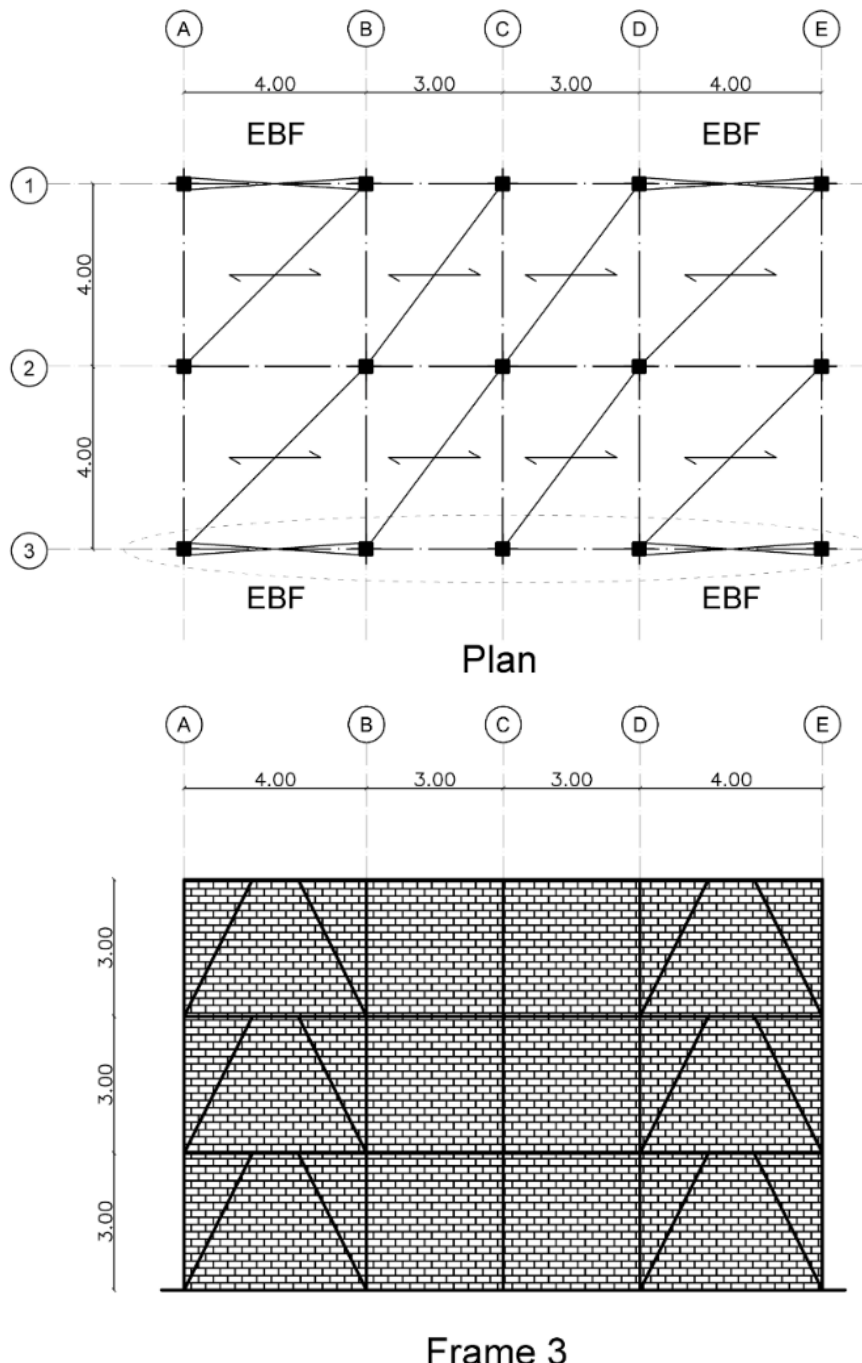
$$\text{سازه قاب ساده فولادی با مهاربند بروون محور: } R = 7$$

۲- معرفی ساختمان مورد مطالعه

در این بخش، ویژگی‌های یک ساختمان سه طبقه فولادی با سیستم مهاربند بروون محور که در زلزله سرپل ذهاب چهار آسیب شده است معرفی گردیده است (شکل ۱). ساختمان در محله فولادی سرپل ذهاب واقع گردیده و در امتداد عمود بر کوچه دارای سه قاب چهار دهانه است که در قاب‌های ابتدایی و انتهایی، دو دهانه بادیند بروون محور اجرا شده است. پلان و نمای یکی از قاب‌های دارای مهاربند بروون محور در شکل ۲ نشان داده شده است. در این ساختمان با وجود اینکه طول تیر پیوند کوتاه است ولی به دلیل اشکالات اجرایی سختی کافی را تامین نکرده است. در شکل ۳ مشاهده می‌شود که مهاربندها تحت تاثیر نیروی زلزله کمانش کرده و تغییر شکل بروون صفحه بزرگی داده‌اند، تیر پیوند نیز فاقد ورق‌های سخت کننده می‌باشد. اصولاً مهاربند بروون محور نباید قبل از تیر پیوند چهار کمانش شود. تیر پیوند و مقاومت فشاری مهاربند با هم سری هستند، هر کدام بشکند، سیستم سختی نخواهد داشت. در این ساختمان، با شکل‌گیری دستک قطری معادل تحت بار جانبی، دیوارهای پرکننده کمک قابل توجهی در پایداری کلی سازه داشته‌اند.

۳- مدل‌های خطی

جهت تحلیل عددی رفتار ساختمان، مدل دو بعدی یکی از قاب‌ها به صورت ۳ طبقه و ۴ دهانه با لحاظ کردن اثرات سه بعدی در نرم‌افزار Etabs



شکل ۲. پلان و نمای سازه ساختمان (نگارندگان)

Fig. 2. Structural plan and elevation of building (Authors)



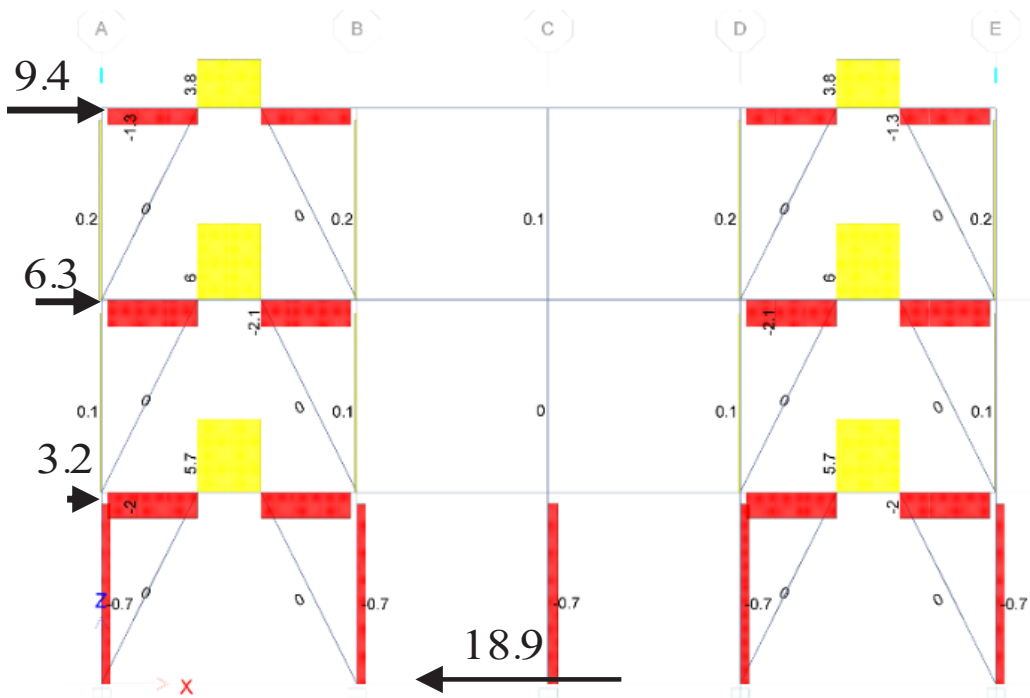
شکل ۳. (بالا) کمانش مهاربند برون محور به صورت برون صفحه، (پایین) عدم اجرای ورق سخت کننده در تیر پیوند (نگارندگان)

Fig. 3. (Top) buckling of brace in out-of-plan, (Bottom) lack of stiffness in link beam (Authors)



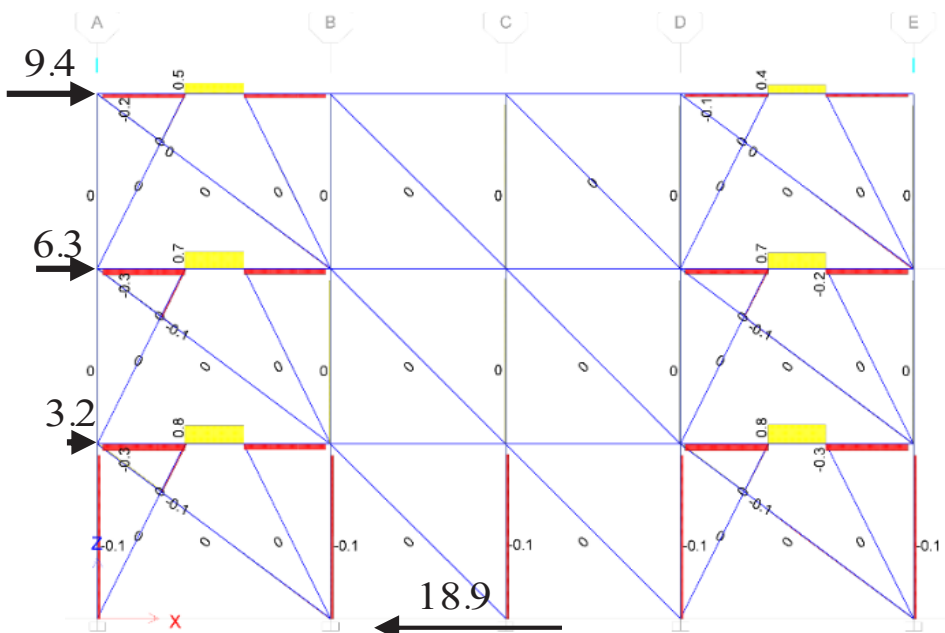
شکل ۴. تحمل بخشی از بار جانبی از طریق شکل‌گیری دستک قدری فشاری دیوار پرکننده (نگارندگان)

Fig. 4. Tolerate part of the lateral load by formation of the compression diagonal struts of infill walls (Authors)



شکل ۵. دیاگرام نیروی برشی در قاب با مهاربند برون محور بدون دیوار پرکننده (tonf)

Fig.5. Shear force diagram of EBF without infill walls (tonf)



شکل ۶. دیاگرام نیروی برشی در قاب با مهاربند برون محور با دیوار پرکننده (tonf)

Fig. 6. Shear force diagram of EBF with infill walls (tonf)

جدول ۱. سختی طبقات قاب با مهاربند برون محور در دو حالت با و بدون دیوار پرکننده

Table 1. Story stiffness of EBF with and without infill walls

	First Story			Second Story			Third Story		
	Δ	F	K	Δ	F	K	Δ	F	K
	cm	tonf	tonf/cm	cm	tonf	tonf/cm	cm	tonf	tonf/cm
EBF	۰/۶۱	۱۸/۹	۳۱	۰/۶۶	۱۵/۷	۲۴	۰/۴۳	۹/۴	۲۲
Infilled EBF	۰/۰۹	۱۸/۹	۲۱۰	۰/۰۸	۱۵/۷	۱۹۶	۰/۰۵	۹/۴	۱۸۸

۴- خروجی تحلیل‌های خطی

در ادامه دیاگرام‌های مربوط به نیروی برشی ناشی از نیروی زلزله قاب با مهاربند برون محور در دو حالت با و بدون دیوار پرکننده ارائه شده است (شکل‌های ۵ و ۶). میزان تغییر مکان جانی در شرایط بدون دیوار پرکننده، به ترتیب از طبقه سوم تا اول ۱/۷۰، ۱/۲۷ و ۰/۶۱ سانتی‌متر بوده که در شرایط وجود دیوار پرکننده این میزان به ترتیب به ۰/۰۹ و ۰/۰۶ و ۰/۰۴ سانتی‌متر کاهش یافته است. پریود قاب خالی ۰/۴۶ ثانیه و قاب پرشده ۰/۱۷ ثانیه می‌باشد. جهت محاسبه سختی طبقات در دو حالت با و بدون دیوار پرکننده، از روش توزیع نیروی زلزله و جایه جایی ناشی از آن استفاده گردیده [۲۵] و نتایج در جدول ۱ و شکل ۷ ارائه شده است. همانگونه که ملاحظه می‌شود وجود دیوار پرکننده در قاب با مهاربند برون محور موجب افزایش سختی طبقات به ترتیب از طبقه اول تا سوم به میزان ۷/۶۲ و ۸/۲ و ۸/۵ برابر می‌شود.

$$T = 0.05H^{\frac{3}{4}} = 0.05 \times 9^{\frac{3}{4}} = 0.26s \quad (1)$$

$$0.1 < 0.26 < 0.5 \rightarrow T_0 < T < T_s \rightarrow \\ B = S + 1 \rightarrow B = 1.5 + 1 = 2.5 \quad (2)$$

$$C = \frac{ABI}{R} = \frac{0.3 \times 2.5 \times 1}{7} = 0.11 \quad (3)$$

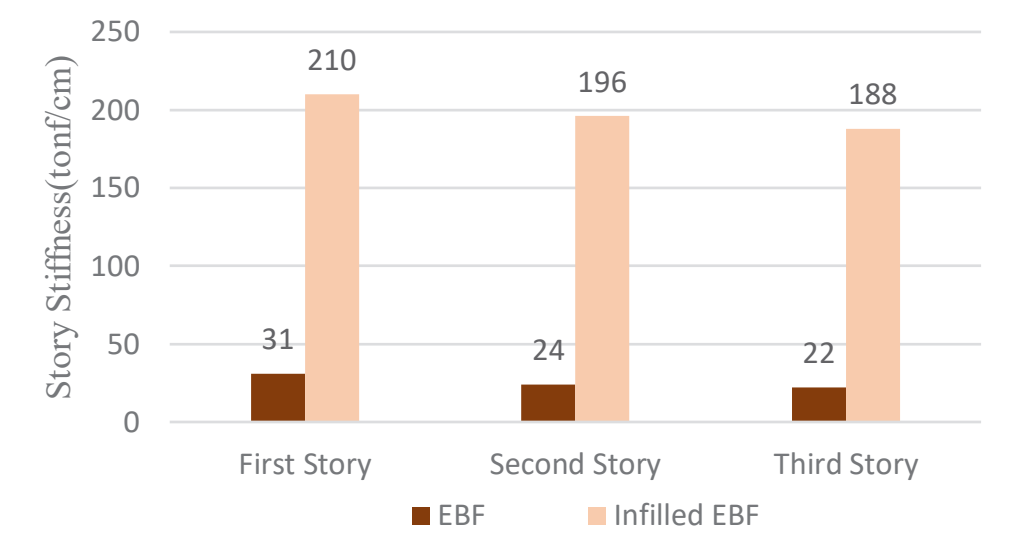
چون یکی از دو قابی که بار جانی را تحمل می‌کند، به صورت دو بعدی مدل می‌شود و این قاب ۲۵٪ از بار ثقل را تحمل می‌کند، در نتیجه مقدار ضریب زلزله دو برابر مقدار فوق در نظر گرفته شده است.

$$V = \frac{1}{2} CW = 2C \times \frac{1}{4} W \rightarrow C = 2 \times 0.11 = 0.22 \quad (4)$$

جهت مدل سازی دیوارهای پرکننده، یک دستک قطری فشاری به عرض ۲/۰ قطر دیوار در نظر گرفته شده است و در دهانه‌های دارای مهاربند عرض دستک به ۵۰٪ این مقدار کاهش یافته است [۷]. بر این اساس در دهانه ۳ متری، عرض دستک دیوار ۸۵ سانتی‌متر و در دهانه ۴ متری دارای مهاربند ۵۰ سانتی‌متر می‌باشد. مدول الاستیسیته دیوار با فرض اینکه بلوك سفال به کار رفته در آن در رده مقاومتی متوسط قرار دارد و با لحاظ نمودن تاثیر انودهای داخلی و خارجی دیوار و محاسبات مربوط به مقطع معادل به میزان ۳۹۲۷ مگاپاسکال و ضخامت معادل ۱۶ سانتی‌متر لحاظ گردیده است [۲۶].

۵- مدل‌های غیرخطی

توجه شود که هدف از تحلیل غیرخطی در اینجا به عنوان یک روش جایگزین برای تحلیل‌های خطی در فرآیند طراحی و یا ارزیابی سازه‌های موجود نبوده و به همین دلیل ملاحظات مربوط به همسان‌سازی با طیف و نیز جایه جایی هدف مدنظر نمی‌باشد. هدف از انجام تحلیل غیرخطی، افزایش و تعمیق درک رفتار لرزه‌ای سازه با یک روش ساده و سریع می‌باشد به نحوی که بتوان اثر دیوار پرکننده را تا حد قابل قبولی بازبینی کرد. همچنین با توجه به در نظر گرفتن هر چند ساده رفتار کمانشی اعضای مورب و رفتار با شکل پذیری بسیار اندک در دیوار پرکننده بعد از عبور از مرحله خطی، اثر رفتار اعضای مورب و نیز اعضای معادل دیوار بر کلیات رفتار حاکم بر سازه در هر دو مرحله خطی و غیرخطی و دقت در تنشیات مربوط به میزان افت مقاومت‌ها و شکل پذیری کمک قابل ملاحظه‌ای در رفتارشناسی سازه می‌کند.



شکل ۷. سختی طبقات قاب با مهاربند برون محور در دو حالت با و بدون دیوار پرکننده

Fig. 7. Story stiffness of EBF with and without infill walls

که تحت نیروی فشاری، کمانش کلی نمی‌کنند و تیر پیوند دقیقاً همین وضعیت موجود را دارد.

حالت سه: وضع موجود فقط با این تفاوت که دیوار پرکننده از قاب جدا می‌بود.

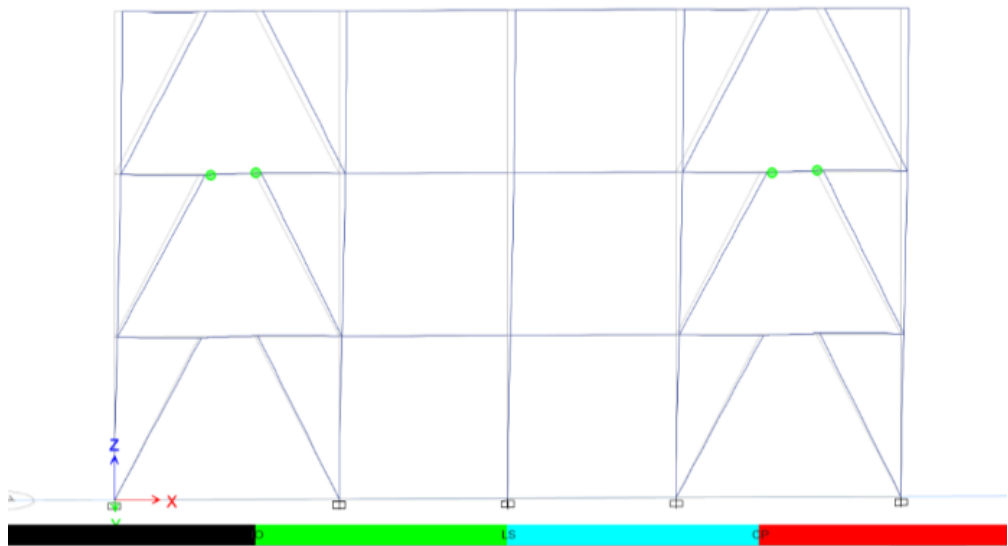
حالت چهار: وضع موجود یعنی برخلاف آیین نامه، دیوار پرکننده به قاب چسبیده است و ابعاد اعضای مورب و نیر ابعاد و جزئیات تیر پیوند طراحی و اجرای درستی نشده‌اند.

۶- خروجی‌های تحلیل غیرخطی

در این قسمت نتایج تحلیل غیرخطی ارائه شده است. در حالت یک و دو که دیوار از سازه جدا می‌باشد و مهاربندها طبق آیین نامه طراحی شده است، مراحل تشکیل مفصل پلاستیک در شکل‌های ۸ الی ۱۰ ارائه شده است. در شکل ۸ که مربوط به شروع مفاسل پلاستیک است، مفاسل در تیر پیوند طبقه دوم تشکیل شده است. مطابق با دیاگرام برش که در شکل ۵ ارائه شده است، این امر مطابق با انتظار می‌باشد. در شکل ۹ ادامه روند تشکیل مفاسل پلاستیک همچنان در تیر پیوند طبقه دوم بوده و در مرحله بعد مطابق با شکل ۱۰، مفاسل پلاستیک در تیر پیوند طبقه اول نیز تشکیل گردیده است.

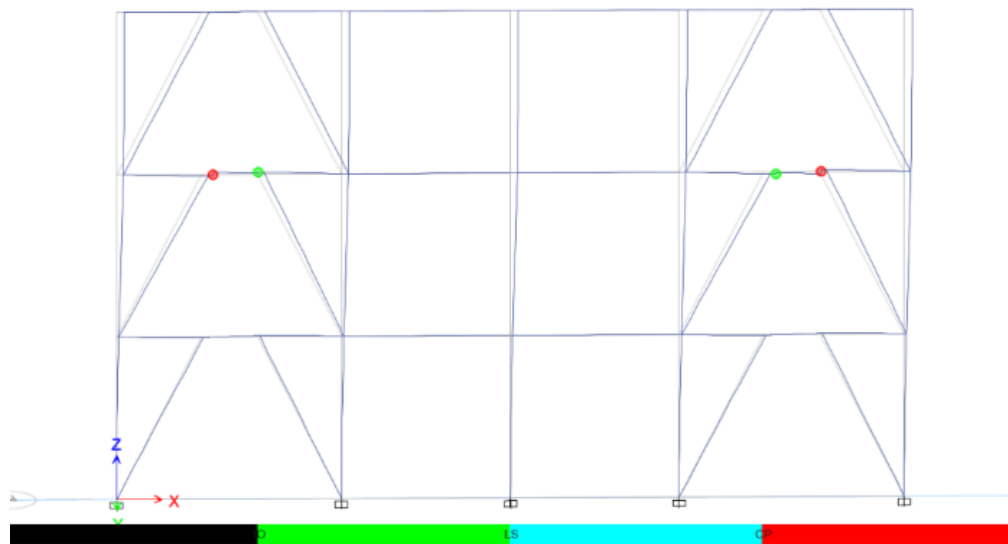
در صورتی که قرار باشد از تحلیل غیرخطی برای ارزیابی سازه و کافی یا ناکافی بودن برخی از خواص سازه نظری سختی، مقاومت و شکل‌پذیری استفاده شود باید مطابق مراجع مناسبی مانند نشریه ۳۶۰ و فما ۳۵۶ اقدامات لازم برای تنظیمات و محاسبات ورودی و اولیه نرم‌افزار را انجام داد. همچنین می‌توان برای پیش‌بینی دقیق‌تر رفتار لزهای سازه از تحلیل دینامیکی غیرخطی استفاده کرد. در این صورت علاوه بر نکات مهم مربوط به انتخاب رکوردهای مناسب و دقت مورد نیاز برای تفسیر نتایج حاصل، باید رفتار چرخه‌ای مصالح بنایی و فولادی را نیز در تحلیل در نظر گرفت و همچنین برخی از حساسیت‌ها را با دقت سنجید.

در این قسمت با استفاده از نشریه ۳۶۰ مدل‌سازی مفاسل پلاستیک در دستک‌های فشاری دیوار پرکننده، مهاربندها و نیز مفاسل برشی و خمشی در دو سر تیر پیوند در نرم‌افزار sbatE برای چهار حالت زیر انجام شده است [۲۶]:
حالت یک: دیوار از قاب جدا و طراحی اعضای مهاربند و جزیات همین تیر پیوند مطابق آیین نامه باشد. یعنی ابعاد تیر پیوند همین وضع موجود باشد ولی جان تیر پیوند داری سخت کننده بوده و اعضای مورب مهاربندی دارای ابعادی هستند که تحت نیروی فشاری، کمانش کلی نمی‌کنند.
حالت دو: دیوار از قاب جدا و اعضای مورب مهاربندی دارای ابعادی هستند



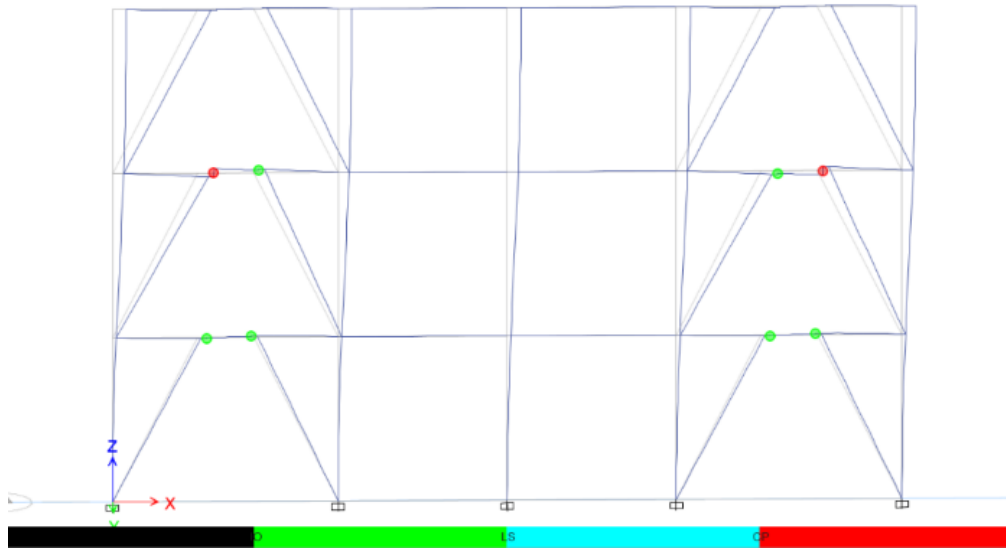
شکل ۸. شروع مفاصل پلاستیک در تیر پیوند طبقه دوم (حالت یک و دو)

Fig. 8. Start of plastic hinges in link beam of the second story (Case 1, 2)



شکل ۹. ادامه روند مفاصل پلاستیک در تیر پیوند طبقه دوم (حالت یک و دو)

Fig.9. Continuation of process of plastic hinges in link beam of the second story (Case 1, 2)



شکل ۱۰. ادامه روند مفاصل پلاستیک در تیر پیوند طبقه دوم و ایجاد مفاصل پلاستیک در تیر پیوند طبقه اول (حالت یک و دو)

Fig.10. Continuation of process of plastic hinges in link beam of the second story and formation of plastic hinges in the first story (Case 1, 2)

است. مطابق نمودار حالت ۳ مشاهده می‌شود که اگر به درستی دیوار از قاب جدا می‌شد، رفتار لرزه‌ای سازه بسیار ضعیفتر از وضع موجود بود و تقریباً مقدار انرژی لرزه‌ای جذب شده کمتر از یک-سوم می‌شد.

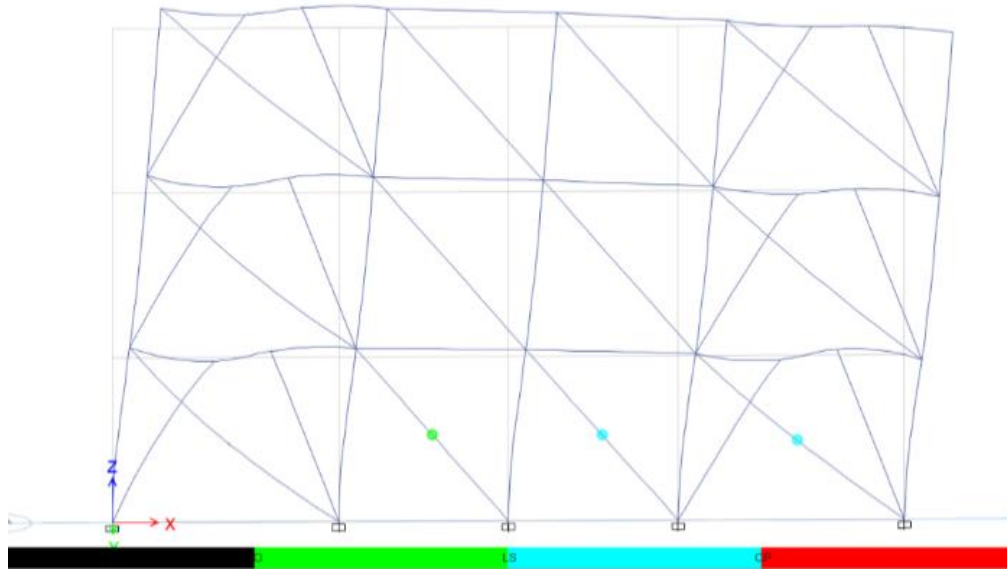
به منظور بازبینی نتایج متناظر تحلیل خطی که در شکل‌های ۵ و ۶ ارائه شده است با تحلیل غیرخطی در شکل ۱۵، سختی سازه در دو حالت با و بدون دیوار پرکننده بر اساس محاسبات خطی به صورت نسبت مجموع نیروی جانبی وارد بر سازه (برش پایه) به جایه جایی با ممحاسبه شده است. این مقدار با سختی اولیه منحنی پوش آور که نتیجه تحلیل غیرخطی سازه می‌باشد، مقایسه گردیده است. جهت محاسبه شبیب بخش اولیه منحنی پوش آور، جایه جایی قاب خالی (حالتهای یک، دو و سه) در نقطه نیروی ۷۷ تن و برای قاب پر شده (حالت چهار) در نقطه نیروی ۶۵ تن مبنای محاسبات قرار گرفته است. بر اساس محاسبات صورت گرفته نتایج تحلیل خطی و غیرخطی همخوانی خوبی دارد (جدول ۲).

$$K = \frac{\sum F}{\sum \Delta} = \frac{F_1 + F_2 + F_3}{\Delta_1 + \Delta_2 + \Delta_3} \quad (5)$$

نتیجه تحلیل غیرخطی سازه در حالت چهار که دیوار پرکننده به سازه متصل است در شکل‌های ۱۱ الی ۱۴ ارائه شده است. در این حالت، مطابق با شکل ۱۱، نخست مفاصل پلاستیک محوری در دیوارهای پرکننده طبقه اول شکل گرفته است و طبق شکل ۱۲ به سرعت توسعه یافته است. بعد از حذف دیوارهای پرکننده از سیستم مقاوم جانبی، مفاصل پلاستیک در مهاربندهای طبقه اول تشکیل گردیده است (شکل ۱۳) و در ادامه با حذف دیوارهای پرکننده و روند توسعه مفاصل پلاستیک مهاربندهای طبقه اول، این طبقه مکانیزم شده است (شکل ۱۴).

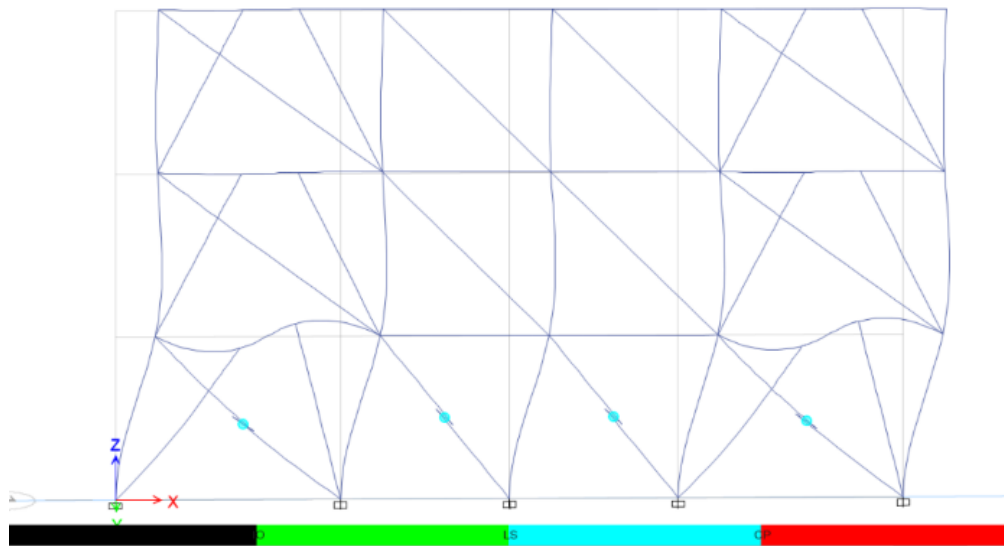
در حالت چهار، قبل از شکست دیوارهای پرکننده، عمدۀ نیروی جانبی زلزله توسط دیوارهای پرکننده تحمل می‌شود و بعد شکست دیوارهای پرکننده در طبقه اول، این نیرو به مهاربندها منتقل گردیده است. بر این اساس در سیکل‌های اولیه زلزله به دلیل مشارکت دیوارهای پرکننده، عملاً نواقص مربوط به مهاربندها مشکلی را برای سازه به همراه نخواهد داشت.

در ادامه نمودار پوش آور چهار حالت بررسی شده در شکل ۱۵ ترسیم شده است. همان‌طور که مشاهده می‌شود اتصال دیوار به سیستم سازه باعث افزایش شدید سختی و مقاومت و جذب انرژی شده است به نحوی که وجود دیوار تا حد زیادی اشکالات مربوط به ضعیف بودن تیر پیوند و مهاربند را جبران کرده



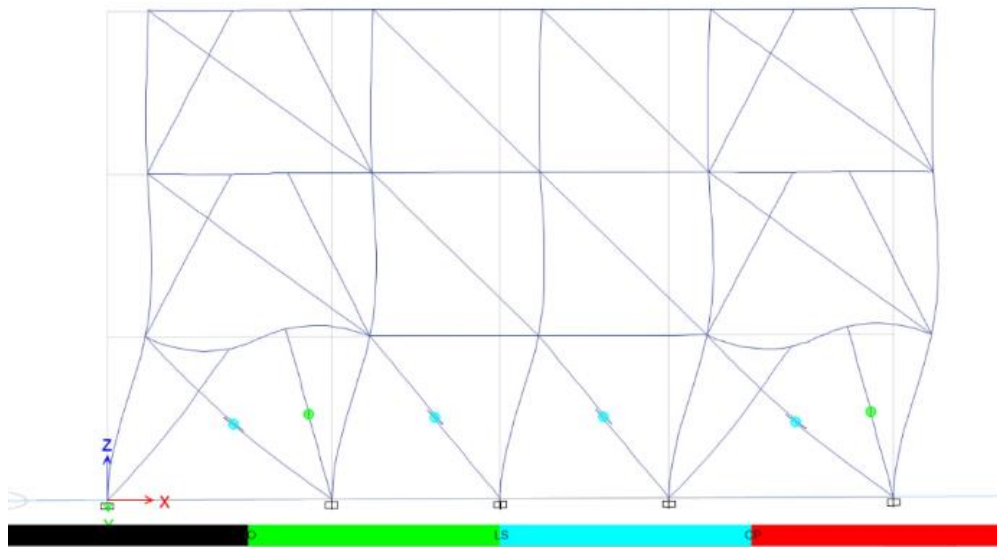
شکل ۱۱. ایجاد سریع مفاصل پلاستیک محوری در دیوارهای پرکننده طبقه اول (حالت چهار)

Fig.11. Rapid formation of axial plastic hinges in infill walls of the first story (Case 4)



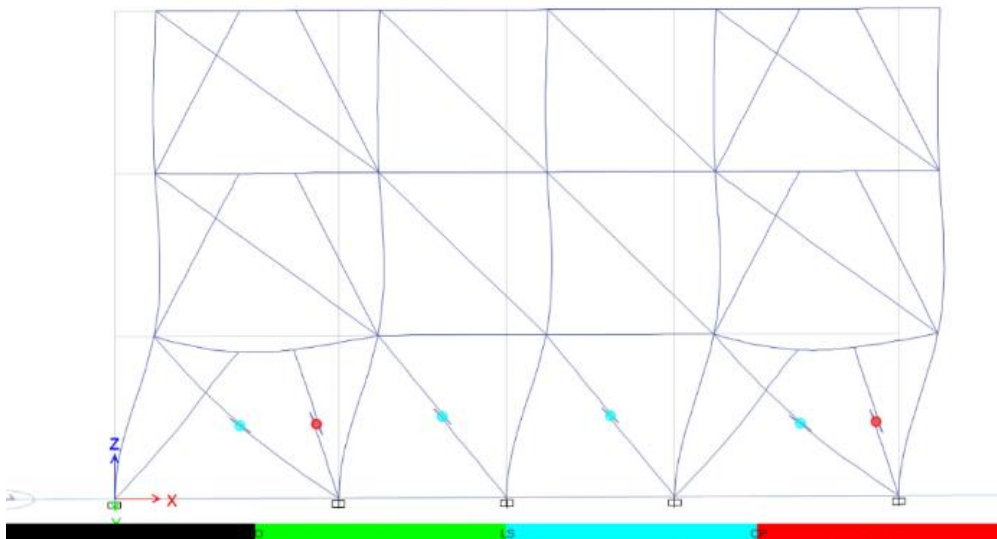
شکل ۱۲. توسعه سریع مفاصل پلاستیک محوری در دیوارهای پرکننده طبقه اول (حالت چهار)

Fig. 12. Rapid development of axial plastic hinges in infill walls of the first story (Case 4)



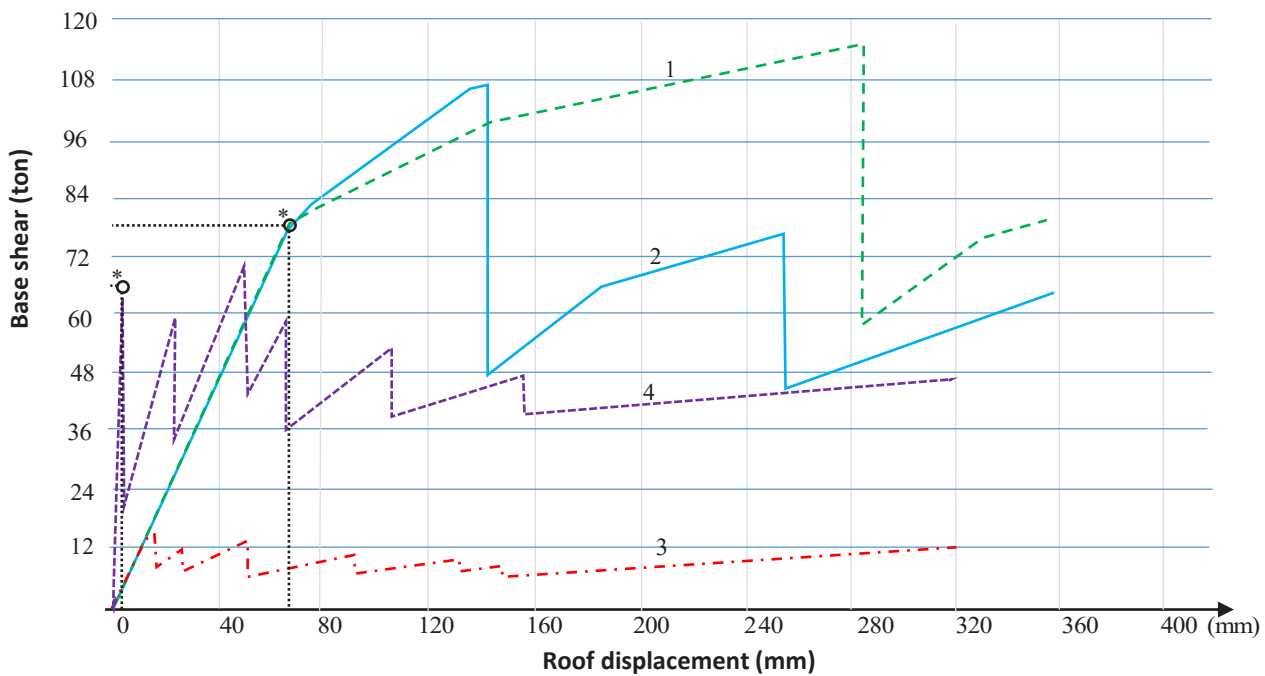
شکل ۱۳. تشکیل مفاصل پلاستیک در مهاربندها بعد از حذف دستک های فشاری معادل دیوار (حالت چهار)

Fig. 13. Formation of plastic hinges in braces after removing of equivalent compression struts of infill walls (Case 4)



شکل ۱۴. مکانیزم شدن طبقه اول در ادامه روند توسعه مفاصل پلاستیک در مهاربندها (حالت چهار)

Fig. 14. Mechanism in the first story following the development of plastic hinges in braces (Case 4)



شکل ۱۵. نمودار پوش آور قاب با مهاربند برون محور و دیوار پرکننده در چهار حالت

Fig. 15. Pushover diagram of EBF and infill wall for four cases

جدول ۲. سختی اولیه قاب با مهاربند برون محور در دو حالت با و بدون دیوار پرکننده بر اساس تحلیل خطی و غیرخطی

Table 2. Initial stiffness of EBF with and without infill wall based on linear and nonlinear analyses

	Linear analysis			Nonlinear analysis		
	$\sum F$	$\sum \Delta$	Gradient	F^*	Δ^*	Gradient
	tonf	cm	tonf/cm	tonf	cm	tonf/cm
EBF	۱۸/۹	۱/۷	۱۱	۷۷	۷	۱۱
Infilled EBF	۱۸/۹	۰/۲۲	۸۶	۶۵	۰/۷۵	۸۶

در نتیجه پریود قاب ۲/۷ برابر کاهش یابد. بر اساس تحلیل پوش آور، در حالت یک و دو که دیوار از سازه جدا می‌باشد و مهاربندها طبق آین نامه طراحی شده است، مفاصل پلاستیک از تیر پیوند طبقه دوم شروع می‌شود و در مراحل بعدی در تیر پیوند طبقه اول تشکیل می‌شود، این امر مطابق با دیاگرام برش طبق انتظار است و نتایج تحلیل خطی و غیرخطی بر هم منطبق است. در حالت چهار که دیوار پرکننده به سازه متصل است نخست مفاصل پلاستیک محوری

۷- بحث

تحلیل‌های انجام شده نشان می‌دهد وجود دستک قطری دیوار پرکننده موجب می‌شود نیروی برشی در تیر پیوند کاهشی معادل ۷/۵ تا ۷/۱ برابر را تجربه کند که این اتفاق با فلسفه طراحی قاب با مهاربند برون محور در تضاد است. همچنین دیوار پرکننده موجب می‌شود تغییر مکان جانبی به میزان ۷/۶ تا ۷/۷ برابر کاهش یابد، سختی جانبی طبقات بین ۷/۶ و ۷/۵ ایالی ۸/۵ برابر افزایش یابد و

طراحی قاب با مهاربند برونو محور حاصل نمی‌گردد.

۵- با توجه به آثار جدی مثبت و منفی دیوارهای پرکننده لازم است علاوه بر پیش‌بینی ضوابط متناسب و جامع برای آن‌ها در استاندارهای ساختمانی، در سرفصل‌های آموزشی دانشگاهی نیز به طور جدی مورد توجه قرار گیرد.

منابع

- [1] C. W. Roeder, E. P. Popov, Eccentrically braced steel frames for earthquakes, Journal of the Structural Division, 104(3) (1978) 391-412.
- [2] S. K. Azad, C. Topkaya., A review of research on steel eccentrically braced frames, Journal of constructional steel research, 128 (2017) 53-73.
- [3] M. Adlparvar, Optimized analysis and design of the link beam with eccentrically braced frame, Journal of Modeling in Engineering, 22 (2010) 69-81 (In Persian).
- [4] K. D. Hjelmstad, E. P. Popov, Characteristics of eccentrically braced frames, Journal of Structural Engineering, 110(2) (1984) 340-353.
- [5] J. O. Malley, E. P. Popov, Shear links in eccentrically braced frames, Journal of Structural Engineering, 110(9) (1984) 2275-2295.
- [6] R. Montuori, E. Nastri, V. Piluso, Theory of plastic mechanism control for MRF-EBF dual systems: Closed form solution, Engineering Structures, 118 (2016) 287-306.
- [7] M. R. Tabeshpour, Interpretation of Standard No 2800, 4th Edition, Volume II; Consideration of infill wall, Banae Danesh Press, Tehran, Iran, 2016 (In Persian).
- [8] A. S. Daryan, M. Ziae, A. Golafshar, A. Pirmoz, M. A. Assareh, A study of the effect of infilled brick walls on behavior of eccentrically braced frames using explicit finite elements method, American J. of Engineering and Applied Sciences, 2(1) (2009) 96-104.
- [9] M. R. Tabeshpour, A. Noorifard, Behavior of building with eccentrically braced frame and infill wall in the Sarpol-E Zahab earthquake, Civil Infrastructure Researches, 6(1) (2020) 29-40.

در دیوارهای پرکننده طبقه اول شکل می‌گیرد. بعد از حذف دیوارهای پرکننده از سیستم مقاوم جانبی، مفاصل پلاستیک در مهاربندهای طبقه اول تشکیل گردیده و در ادامه با حذف دیوارهای پرکننده و روند توسعه مفاصل پلاستیک در مهاربندهای طبقه اول، این طبقه مکانیزم می‌گردد. دیاگرام نیروی محوری و نیروی برشی در این حالت، قبل و بعد از شکست دیوارهای پرکننده نشان می‌دهد عدمه نیروی جانبی زلزله توسط دیوارهای پرکننده تحمل می‌شود و بعد از شکست دیوارهای پرکننده در طبقه اول، این نیرو به مهاربندها منتقل می‌گردد. بر این اساس در سیکل‌های اولیه زلزله به دلیل مشارکت دیوارهای پرکننده، عملًا نواقص مربوط به مهاربندها مشکلی را برای سازه به همراه نخواهد داشت. دیاگرام برش قبل از شکست دیوارهای پرکننده نشان می‌دهد، مقادیر نیروی برشی در تیر پیوند کم بوده و این امر با فلسفه طراحی مهاربند برونو محور در تضاد است، با حذف دیوارهای پرکننده، نیروی برشی در تیر پیوند افزایش حدود سه برابری را تجربه می‌کند.

بر اساس نمودار پوش آور هر چهار حالت می‌توان نتیجه گرفت که اتصال دیوار به سازه باعث افزایش شدید سختی، مقاومت و جذب انرژی شده و تا حد زیادی اشکالات مربوط به ضعیف بودن تیر پیوند و مهاربند را جبران کرده است. در این شرایط اگر دیوار پرکننده وجود نمی‌داشت، رفتار لرزه‌ای سازه بحرانی‌تر می‌شد و حتی احتمال فروپاش سازه وجود می‌داشت.

۸- نتیجه‌گیری

۱- با مدل‌سازی ساده و سریع ماکرو برای تحلیل غیرخطی یک ساختمان دارای مهاربند برونو محور و دیوار پرکننده در زلزله سریل، همخوانی و تطابق قابل قبولی بین نتایج مدل و رخدادهای میدانی مشاهده شد. این امر به معنای آن است که حتی با تحلیل‌های غیرخطی کم هزینه نیز می‌توان تا حد زیادی رفتار واقعی سازه در زلزله را پیش‌بینی کرد.

۲- دیوار پرکننده علاوه بر قاب‌های خمشی، بر رفتار لرزه‌ای سیستم مهاربند برونو محور نیز اثر قابل ملاحظه‌ای دارد.

۳- در شرایطی که اشکالاتی در طراحی و اجرای قاب با مهاربند برونو محور وجود دارد، اتصال دیوار پرکننده به سازه مطلوب است.

۴- برای قاب با مهاربند برونو محوری که به درستی برای بار زلزله طراحی شده است، چسباندن دیوار پرکننده به قاب باعث اختلال در رفتار شکل‌پذیر مطلوب این سیستم سازه‌ای می‌شود زیرا وجود دیوار پرکننده و شکل‌گیری دستک معادل موجب کاهش نیروی برشی در تیر پیوند گردیده و مانع از جذب نیروی جانبی در این بخش و جاری شدن تیر پیوند می‌شود لذا هدف اصلی از

- infilled RC buildings, *Engineering Structures*, 42 (2012), 83-94.
- [19] A. Adukadukam, A. K. Sengupta, Equivalent Strut Method for the Modelling of Masonry Infill Walls in the Nonlinear Static Analysis of Buildings, *Journal of the Institution of Engineers (India): Series A*, 94(2) (2013) 99-108.
- [20] E. Martinelli, C. Lima, G. De Stefano, A simplified procedure for Nonlinear Static analysis of masonry infilled RC frames, *Engineering Structures*, 101 (2015) 591-608.
- [21] M. R. Tabeshpour, A. Noorifard, Nonlinear analysis of eccentrically braced steel frame with infill walls in the Sarpol-e Zahab earthquake, 10th National Conference on Steel & Structure, Tehran, Iran, (2019) (In Persian).
- [22] Iranian national building code, part 6. Design loads for buildings, Ministry of roads and urban development , Islamic Republic of Iran, Tehran, Iran, 2013 (In Persian).
- [23] Standard No 2800. Iranian Code of Practice for Seismic Resistant Design of Buildings, 3th Edition, Building and Housing Research Center, Tehran, Iran, 2006 (In Persian).
- [24] A. Noorifard, M. R. Tabeshpour, Determining the modulus of elasticity of infill walls constructed by common materials in Iran for engineering applications, *Research Bulletin of Seismology and Earthquake Engineering*, 20(1) (2017) 25-35 (In Persian).
- [25] M. R. Tabeshpour, A. Noorifard, Comparing calculation methods of storey stiffness to control provision of soft storey in seismic codes, *Earthquakes and Structures*, 11(1) (2016) 1-23.
- [26] Instruction for seismic rehabilitation of existing buildings, No. 360, First revision, Office of deputy for strategic supervision, Department of technical affairs, Vice presidency for strategic planning and supervision, Tehran, Iran, 2014 (In Persian).
- [10] R. A. Jazany, I. Hajirasouliha, H. Farshchi., Influence of masonry infill on the seismic performance of concentrically braced frames, *Journal of Constructional Steel Research*, 88 (2013) 150-163.
- [11] D. Khan, A. Rawat, Nonlinear seismic analysis of masonry infill RC buildings with eccentric bracings at soft storey level, *Procedia engineering*, 161(2016) 9-17.
- [12] A. Ghobarah, T. Ramadan, Effect of axial forces on the performance of links in eccentrically braced frames, *Engineering Structures*, 12(2) (1990) 106-113.
- [13] G. C. Clifton, H. Nashid, G. Ferguson, M. Hodgson, C. Seal, M. Bruneau, G.A. MacRae, S. Gardiner, Performance of eccentrically braced framed buildings in the Christchurch earthquake series of 2010/2011, In 15th World Conference on Earthquake Engineering, Lisbon, Portugal (2012).
- [14] A. Daneshmand, B. H. Hashemi, Performance of intermediate and long links in eccentrically braced frames, *Journal of Constructional Steel Research*, 70 (2012) 167-176.
- [15] H. Rodrigues, H. Varum, A. Costa, A non-linear masonry infill macro-model to represent the global behaviour of buildings under cyclic loading, *International Journal of Mechanics and Materials in Design*, 4(2) (2008) 123-135.
- [16] H. Rodrigues, H. Varum, A. Costa, Simplified macro-model for infill masonry panels, *Journal of Earthquake Engineering*, 14(3) (2010) 390-416.
- [17] G. S. Torrisi, F. J. Crisafulli, A. Pavese, An innovative model for the in-plane nonlinear analysis of confined masonry and infilled frame structures, In Proceedings of the 15th World Conference on Earthquake Engineering, (2012) 24-28.
- [18] G. Uva, D. Raffaele, F. Porco, A. Fiore, On the role of equivalent strut models in the seismic assessment of

چگونه به این مقاله ارجاع دهیم

M. R. Tabeshpour, A. Noorifard, *Investigating the effect of infill walls on the behavior of building with eccentrically braced frame in the Sarpol-e Zahab earthquake through nonlinear analysis*, Amirkabir J. Civil Eng., 54(3) (2022) 1133-1150.

DOI: [10.22060/ceej.2021.19274.7121](https://doi.org/10.22060/ceej.2021.19274.7121)



